

日立造船株 正員 竹下 治之  
日立造船株 正員 岩田 順雄

1. まえがき 海洋資源の開拓、海洋空間の利用などの海洋開発に伴い、苛酷な環境下にみる海洋構造物に適合する新しい構造様式の開拓が望まれる。著者らはこの海洋構造物の構造部材として適用すべき構造様式に対し数年来研究を重ねてきた。その一つに、図1に示すような鋼板間にコンクリートを充填したサンドイッチ式複合構造物がある。この種の複合構造物の基礎的強度特性を調査検討するために、10数種類の構造様式に対し模型実験を実施したのでその概要を報告する。

2. 実験概要 実験模型を図2に示す。B1～B8は引張側および圧縮側鋼板にずれ止めとT字形鋼を取り付け鋼板とコンクリートを合成させたもの、B9はウェブに代えてトラス板を配置したものである。B10、B11は形鋼のずれ止めを廃止し軸方向に2条のリブを取り付け鋼板の曲げ剛性を増加させたもので、B12、B13は引張側鋼板の一部と異形鋼棒に置換したものである。さらに、B14はB2とB11の併用型である。実験に使用したコンクリートは設計基準強度 $250 \text{ kg/cm}^2$ であり、荷重は図2に示すように模型中央に油圧ジャッキを用いて前張に至るまで段階的に負荷した。

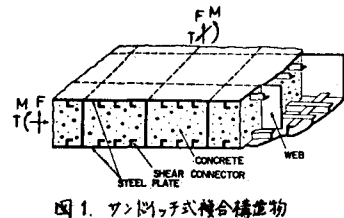


図1. サンドイッチ式複合構造物

3. 実験結果および考察 模型の荷重とたわみの関係を図3に示す。いずれの模型においても、鋼板と圧縮域のコンクリートを考慮して求めた梁理論による初期降伏荷重までは荷重-たわみの間にほぼ直線関係が成立する。この初期降伏荷重に至るまでの範囲で剛性(荷重/たわみ)を比較すると、いずれの模型にもかかわらず計算値は計算値よりも低い。これは、形鋼のずれ止め剛隔が比較的大きいからである。存在しないため鋼板とコンクリートとの間の水平剪断力の伝達が不十分で、両者の間にすべりが生じ剛性が低下するからである。しかし、このような鋼板とコンクリートのずれあいはコンクリートのクラックは若干の剛性低下を引き起すが、荷重-たわみの直線関係がほぼ成立し、繰返し負荷に対してても再現性を示すことが実験的に確認されている。<sup>(1)</sup>

図4にコンクリートの主張の一例を示す。図から、コンクリートは近似的に合成梁の挙動から次第にアーチ的挙動へ移行していくのがわかる。このようす傾向から、ウェブの応力は近似的にコンクリートを斜圧縮部材と見なし模型をトラス構造にモデル化して計算することができる。クラック進展状況の代表例を図5に

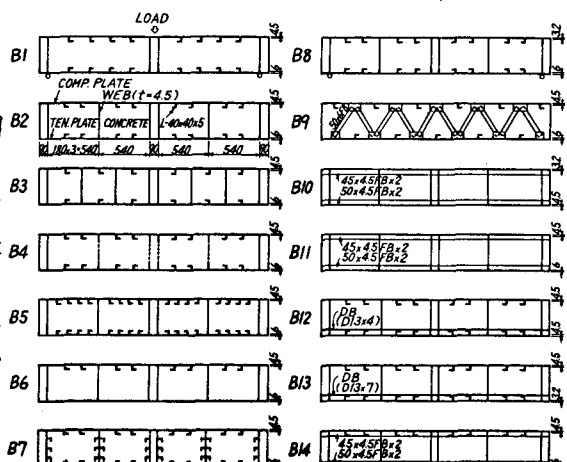


図2. 実験模型

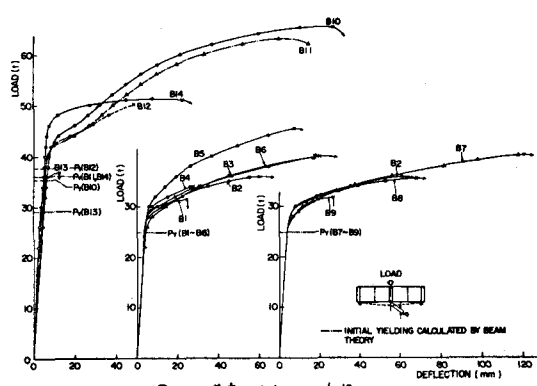


図3 荷重-たわみの関係

示す。サンディッチ式複合構造物の崩壊状態は図6のようにモデル化することでき、崩壊荷重は同図(c)のcritical section (A-A)にかけられた力の釣合いよりコンクリートの圧壊条件から次のように求められる。

$$G_c = (2b_1 b_2 - f_c + \sqrt{(2b_1 b_2 - f_c)^2 - 4b_1^2(b_2^2 - f_c^2)}) / 2b_1^2 \quad \dots \dots \dots (1)$$

$$C = (G_e A_e - G_u A_u) / BG_c \quad \dots \dots \dots (2) \quad f_c = \sqrt{f_c^2 - f_c G_c} \quad \dots \dots \dots (3)$$

$$P = 2F = 2(G_e A_e - G_u A_u) \sqrt{f_c^2 - f_c G_c} / G_c \quad \dots \dots \dots (4)$$

ここに、  
\$f\_c\$: コンクリートの圧縮強度  
\$A\_e\$, \$A\_u\$: 引張側および圧縮側鋼板の断面積  
\$B\$, \$d\$: 梁の幅および深さ  
\$C\$: コンクリートのアーチ頂部の深さ  
\$G\_u\$: 圧縮側鋼板の応力(\$=G\_y\$: 鋼板の降伏応力, 但し座屈時は\$G\_u=0\$)  
\$G\_e\$: 引張側鋼板の応力(\$=G\_b\$: 鋼板の引張破断強度)  
\$G\_c\$, \$f\_c\$: コンクリートの圧縮および剪断応力  
\$b\_1 = G\_e A\_e d / 2(G\_e A\_e - G\_u A\_u)\$, \$b\_2 = (G\_e A\_e - G\_u A\_u) / 2BD\$

(4)式を用いて実験模型の崩壊強度と解析結果を表1に示す。

4. 結論 (1)サンディッチ式複合構造では、コンクリートにクラックが生じても引張側鋼板が降伏するまで、荷重-たわみの関係はほぼ直線的であり、同時に再現性がある。

(2)さらに、構造要素を適当に選ぶことにより最終強度に至るまでの変形能力および吸収エネルギーを非常に大きくすることが可能である。また、コンクリートはアーチ効果により大きな剪断力を負担する。

(3)ウェブはコンクリートのクラックアレスターとしての役目を果し、それ止までは鋼板とコンクリートの合成ならびに圧縮側鋼板の座屈強度を高める。

(4)圧縮側鋼板の曲げ剛性が高いと、鋼板は崩壊に至るまでコンクリートの圧壊を阻止し軸圧縮力を分担するため変形能力および吸収エネルギーは大幅に向かう。

(5)本研究で展開した解析法による最終強度の計算値は実験値と非常によく一致する。

なお、本報告ではサンディッチ式複合構造梁に曲げモーメントと剪断力が負荷される場合を対象に述べたが、この他にも梁に剪断力、純曲げモーメント、あるいは繰返し荷重が負荷される場合についても模型実験を実施しており、この構造様式はこれらの荷重下においても最終強度、変形能力ならびに吸収エネルギーが大きくなることを確認した。<sup>(1)</sup> さらに、鋼板とコンクリートのずれおよびコンクリートのクラックなども考慮した有限要素法による高精度解析を実施中である。最後に、研究を進めるにあたり、貴重な助言をいたしました神戸大学藤井助教授にお礼申し上げます。

参考文献: (1)日本造船機器開発協会: 大型浮遊式海洋構造物の調査研究事業報告書、昭51・3

(2)植原、松石、竹下他; 鋼板とコンクリートから構成されるサンディッチ式複合構造物の強度に関する研究(第1報), 日本造船学会論文集, 第14号, 昭52・5

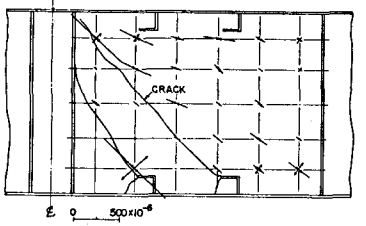
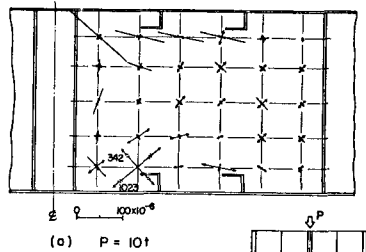


図4 コンクリートの主压(B2)

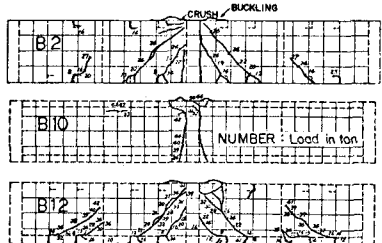


図5 クラック進展状況

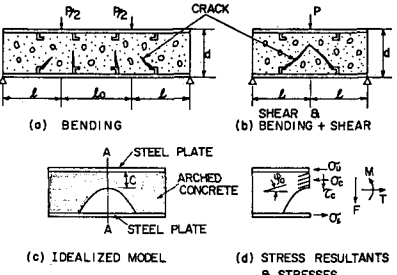


図6 崩壊時のモデル化

表1. 崩壊荷重					
LOAD	MODEL	EXP. \$P_u\$	CAL. \$P_u\$	\$P_u^{EXP/CAL}\$	
B1	31.41	40.61	0.77		
B2	36.0	+	0.89		
B3	40.1	+	0.99		
B4	33.7	+	0.83		
B5	45.4	+	1.12		
B6	40.0	+	0.99		
B7	40.3	+	0.99		
B8	35.6	40.1	0.89		
B9	31.7	40.6	0.78		
B10	65.1	61.4	1.06		
B11	63.0	61.8	1.02		
B12	50.2	57.6	0.87		
B13	36.7	49.6	0.74		
B14	31.7	61.8	0.64		
M/S <sup>2</sup> : COMBINED SHEAR AND BENDING					
EXP/CAL : RATIO OF EXPERIMENTAL ULTIMATE STRENGTH TO CALCULATED ULTIMATE STRENGTH					